

## 5. Wellenfelder an einfachen Grenzflächen

### 5.1. Lineare Feldtheorie für Schichtstrukturen

Wir verallgemeinern die Feldgleichungen in 4.1 zu

$$\sum_{\alpha=1}^N \sum_{\{n_i\}} C_{n_0 \dots n_d}^{\beta\alpha}(\vec{x}) \partial_t^{n_0} \partial_1^{n_1} \dots \partial_d^{n_d} F_{\alpha}(\vec{x}, t) = \Gamma_{\beta}(\vec{x}, t)$$

Koeffizienten sind ortsabhängig

Ansatz: Monochromatisches Feld

$$F_{\alpha}(\vec{x}, t) = F_{\alpha}^{\omega}(\vec{x}) e^{-i\omega t}$$

$$\Gamma_{\alpha}(\vec{x}, t) = \Gamma_{\alpha}^{\omega}(\vec{x}) e^{-i\omega t} \quad \checkmark$$

$$(*) \sum_{\alpha=1}^N \sum_{\{n_i\}} C_{n_0 \dots n_d}^{\beta\alpha}(\vec{x}) (-i\omega)^{n_0} \partial_1^{n_1} \dots \partial_d^{n_d} F_{\alpha}^{\omega}(\vec{x}) = \Gamma_{\beta}^{\omega}(\vec{x})$$

also eine Differentialgleichung im Ortsraum.

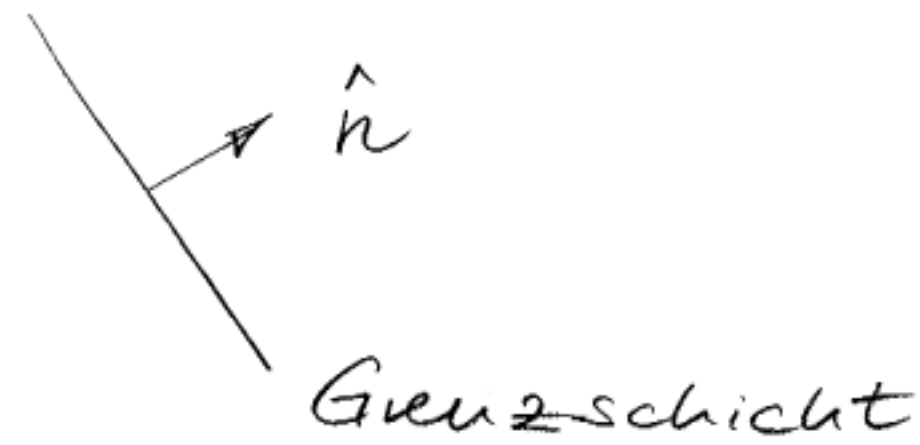
Satz: Jede Lösung der Feldtheorie ist eine Superposition von monochromatischen Funktionen

$$F_{\alpha}(\vec{x}, t) = \int \frac{d\omega}{2\pi} F_{\alpha}^{\omega}(\vec{x}) e^{-i\omega t}$$

wobei  $F_{\alpha}^{\omega}(\vec{x})$  Lösung von (\*) ist

In folgendem werden wir nur die homogenen Feldgleichungen betrachten, also  $\Gamma \equiv 0$ ,

# Wellenfelder an Schichten



Wir setzen voraus, daß die Koeffizienten der Feldtheorie  $C_{\dots}^{\beta\alpha}(\vec{x})$  auf Hyperebenen  $\perp \vec{n}$  konstant sind.

Wir legen  $\vec{n}$  so, daß  $\vec{n} = (0, \dots, 0, 1)$ ;  
 $\vec{x} = (\vec{y}, z)$ ,  $z \perp$  Schicht  $\rightsquigarrow C_{\dots}^{\beta\alpha}(z)$

Wir können dann den Ansatz machen

$$F_{\alpha}^{\omega}(\vec{x}) = e^{i\vec{p} \cdot \vec{y}} F_{\alpha}^{\omega, \vec{p}}(z)$$

wobei  $F_{\alpha}^{\omega, \vec{p}}$  Fourierkoeffizienten sind

$$\vec{p} \cdot \vec{y} = p_1 y_1 + \dots + p_{d-1} y_{d-1}$$

$$\vec{y} \in \mathbb{E}^{d-1}, \quad \vec{p} \in \mathbb{E}^{d-1}$$

( $d-1$  dim euklidische Räume)

$\vec{p}$  heisst Wellenvektor  $\parallel$  Schicht ( $\perp \vec{n}$ )

Obiger Ansatz ist dann Lösung von

$$\oplus \sum_{\alpha=1}^N \sum_n C_n^{\beta\alpha}(\omega, \vec{p}, z) \left(\frac{d}{dz}\right)^n F_{\alpha}^{\omega, \vec{p}}(z) = 0$$

wobei

$$n = n_d$$

$$C_n^{\beta\alpha}(\omega, \vec{p}, z) = \sum_{\{n_0, \dots, n_{d-1}\}} C_{n_0, \dots, n_{d-1}}^{\beta\alpha}(z) (-i\omega)^{n_0}$$

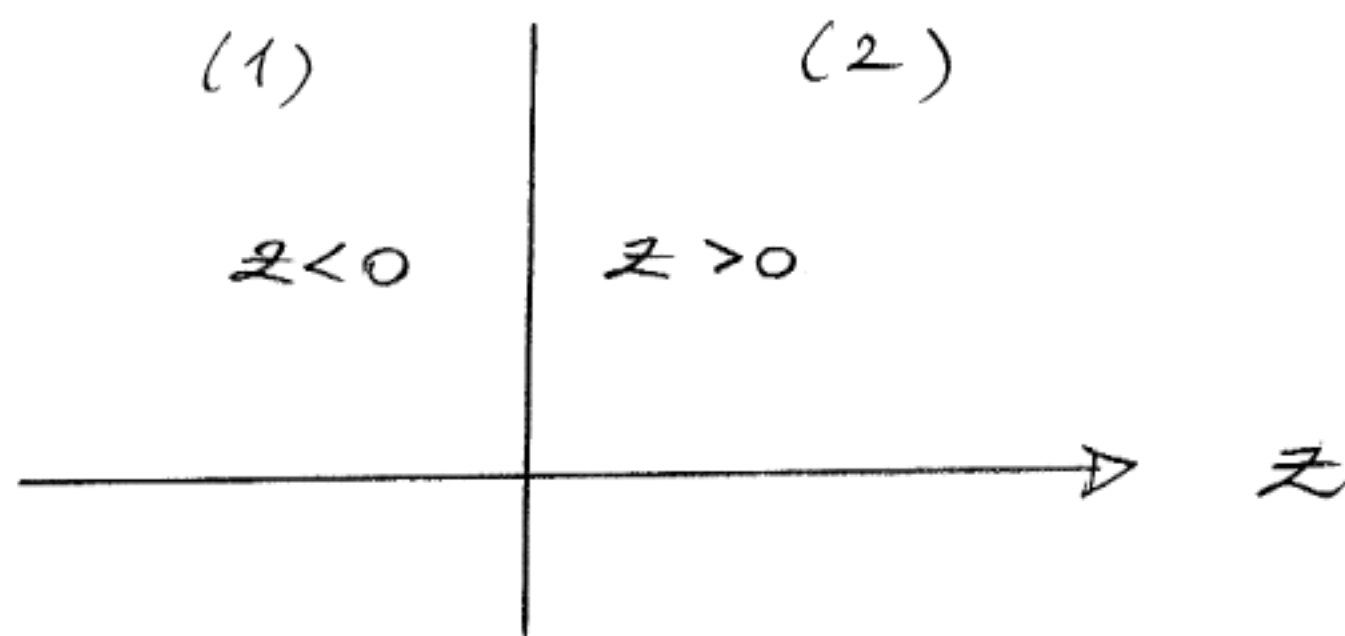
$$(ip_1)^{n_1} \dots (ip_{d-1})^{n_{d-1}}$$

Satz: Jede Lösung zu (\*) lässt sich schreiben als Superposition

$$F_{\alpha}^{\omega}(\vec{y}, z) = \int \frac{d^{d-1}p}{(2\pi)^{d-1}} e^{i\vec{p}\cdot\vec{y}} F_{\alpha}^{\omega\vec{p}}(z)$$

wobei  $F_{\alpha}^{\omega\vec{p}}$  Lösung von (\*)

### Einfache Grenzflächen



Das Medium sei in (1) und (2) jeweils homogen, d.h. in (1) und (2) besteht jeweils eine freie Feldtheorie vorliegen.

Der Anschluss erfolgt über Randbedingungen.

(Die Verallgemeinerung zu mehreren Grenzschichten ist trivial: (1) | (2) | (3) | ...)

Satz: In jedem Halbraum ist die Lösung der Feldgleichungen eine Superposition

$$F_{\alpha, \nu}^{\omega\vec{p}}(z) = e^{iK_{\nu}z} F_{\alpha, \nu}^{\omega\vec{p}}$$

mit  $K_1, \dots, K_{\nu_{\max}}$  charakter. Wurzeln (EW)

$K_{\nu}, F_{\nu}$  folgen aus den algebraischen

Gleichungen

$$\sum_{\alpha=1}^N \sum_{\nu} C_{\nu}^{\beta\alpha(1,2)} (iK_{\nu})^{\nu} F_{\alpha, \nu}^{\omega\vec{p}} = 0$$

+ Randbedingungen

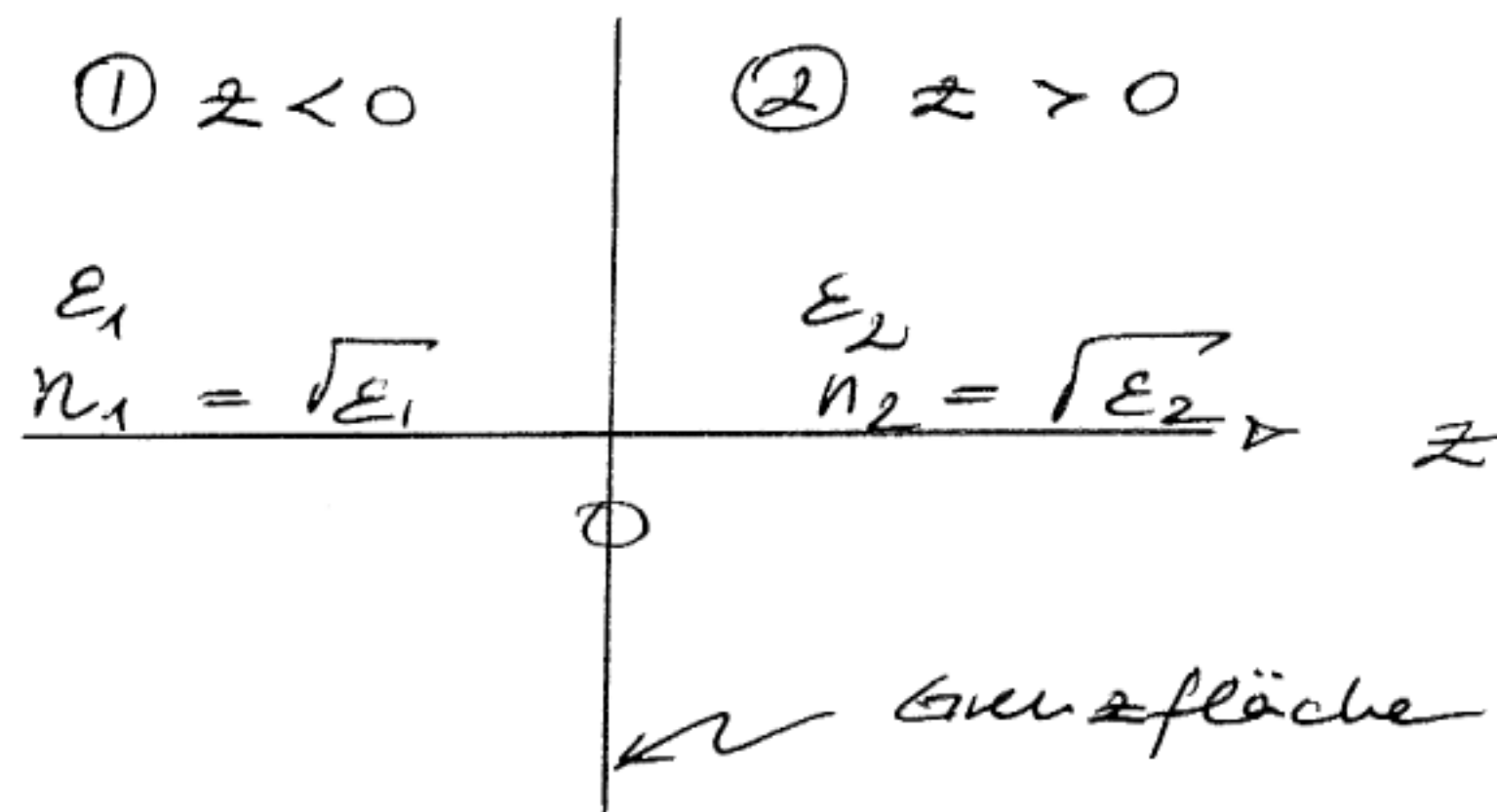
Komplexe Lösung

$$F_{\alpha}(\vec{y}, z, t) = \sum_{\nu} \int \frac{d^{d-1}p}{(2\pi)^{d-1}} \int \frac{d\omega}{2\pi} e^{-i\omega t} e^{i\vec{p}\vec{y}} e^{iK_{\nu}z} F_{\alpha, \nu}^{\omega, \vec{p}}$$

Die Physik steckt in  $K_{\nu}$   
und den Amplituden  $F_{\alpha, \nu}^{\omega, \vec{p}}$ .

## 5.2. Reflexion und Transmission an idealem Dielektrikum

Betrachte eine ebene Grenzfläche zwischen  
idealen Dielektrika mit konstanten DK'n.



Die Dispersionsrelation in einem idealen  
homogenen Dielektrikum lautet

$$\omega^2 = \frac{c^2}{n^2} k^2 \quad \left( v = \frac{c}{n} \right)$$

wobei  $n = \sqrt{\epsilon}$

als Brechungsindex bezeichnet wird

Wir teilen den Wellenvektor  $\vec{k}$  auf in  
Komponenten parallel und senkrecht zur  
Grenzfläche

$$\vec{k} = \vec{p} + \vec{k}$$

$\vec{p} = 0$  heißt senkrechter Einfall.



In diesem Unterkapitel befassen wir uns mit dem Spezialfall des senkrechten Einfalls auf die Grenzfläche ( $\vec{p} = 0$ ).  
Dann gilt

$$\kappa_{\pm} = \pm \frac{n}{c} \omega$$

$$\vec{k}_{\pm} = (0, 0, \kappa_{\pm})$$

$$\vec{E}^N(z) = \begin{pmatrix} E_x^+ \\ E_y^+ \\ 0 \end{pmatrix} e^{i \frac{n}{c} \omega z} + \begin{pmatrix} E_x^- \\ E_y^- \\ 0 \end{pmatrix} e^{-i \frac{n}{c} \omega z}$$

$$\vec{B}^N(z) = \left(\frac{\omega}{c}\right)^{-1} \vec{k}_{\pm} \times \vec{E}^N(z)$$

$$= n \left[ \begin{pmatrix} -E_y^+ \\ E_x^+ \\ 0 \end{pmatrix} e^{i \frac{n}{c} \omega z} + \begin{pmatrix} E_y^- \\ -E_x^- \\ 0 \end{pmatrix} e^{-i \frac{n}{c} \omega z} \right]$$

ist allgemeine Lösung (Summe aus rechts- und linkslaufender Welle) für die Fourierkomponenten  $\vec{E}^N(z)$  und  $\vec{B}^N(z)$ ; hier bezeichnen dann jeweils den Brechungsindex in den Gebieten ① oder ②.

Zur weiteren Analyse verwenden wir nun die in Kapitel 3.4. abgeleiteten Stetigkeitsbedingungen:

$$(1) \quad E_z \text{ stetig} \Rightarrow E_x^{+(1)} + E_x^{- (1)} = E_x^{+(2)} + E_x^{- (2)}$$

ebenso für y-Komponente

$$(2) \quad B_z \text{ stetig} \Rightarrow n_1 (E_x^{+(1)} - E_x^{- (1)}) = n_2 (E_x^{+(2)} - E_x^{- (2)})$$

ebenso für y-Komponente

Wir nehmen nun die folgende Fallunterscheidung vor

(a)  $E_y \equiv 0$  ; elem. Welle in x-Richtung lin. pol.

(b)  $E_x \equiv 0$  ; " " in y-Richtung " "

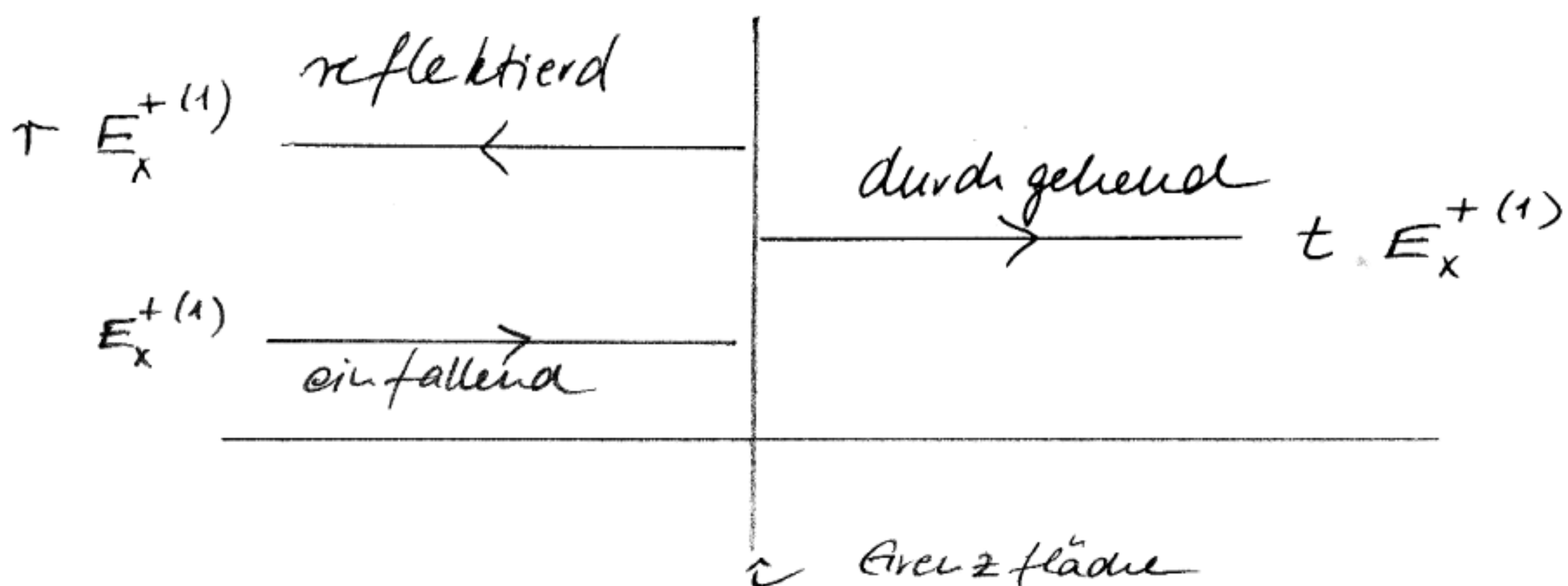
Fall (1) Sei  $E^{-(2)} = 0$ , d.h. wir betrachten eine von links einfallende Welle. Dann folgt aus den Stetigkeitsbedingungen (1) und (2)

$$n_1(1) + (2) : \quad 2n_1 E_x^{+(1)} = n_1 (E_x^{+(2)} + E_x^{-(2)}) + n_2 (E_x^{+(2)} - E_x^{-(2)})$$

$$\leadsto 2n_1 E_x^{+(1)} = (n_1 + n_2) E_x^{+(2)} + (n_1 - n_2) \cancel{E_x^{-(2)}} = 0$$

$$n_2(1) - (2) \quad \leadsto (n_1 + n_2) E_x^{+(1)} + (n_2 - n_1) E_x^{-(1)} = 0$$

$$\Rightarrow \begin{array}{l} E_x^{+(2)} = \frac{2n_1}{n_1 + n_2} E_x^{+(1)} \\ E_x^{-(1)} = \frac{n_1 - n_2}{n_1 + n_2} E_x^{+(1)} \end{array}$$



Damir ergibt sich

Reflexionskoef.

$$r = \frac{n_1 - n_2}{n_1 + n_2}$$

Transmissionskoef.:

$$t = \frac{2n_1}{n_1 + n_2}$$

Die allgemeine Lösung findet man durch Superposition (siehe 5.1)

$$E_x(z, t) = \underbrace{\Theta(z)}_{\text{durchgehend}} E_t(z, t) + \underbrace{\Theta(-z)}_{\text{einfallend + reflektiert}} [E_i(z, t) + E_r(z, t)]$$

wobei

$$E_i(z, t) = \int \frac{d\omega}{2\pi} E_x^{+(1)}(\omega) e^{i\left(\frac{n_1}{c}\omega z - \omega t\right)}$$
$$= \int dk a(k) e^{i(kz - \omega_1(k) \cdot t)}$$

$$\text{mit } \omega_1(k) = v_1 k, \quad v_1 = \frac{c}{n_1}$$

$$\text{und } k = \frac{n_1 \omega}{c}$$

$$a(k) = \frac{c}{2\pi n_1} E_x^{+(1)}\left(\frac{c}{n_1} k\right)$$

$$E_r = \int dk a(k) \cdot r e^{i(-kz - \omega_1(k) \cdot t)}$$

$$E_t = \int \frac{d\omega}{2\pi} E_x^{+(2)}(\omega) t e^{i\left[\frac{n_2}{c}\omega z - \omega t\right]}$$

$$= \int dk \cdot \frac{c}{n_2} \frac{1}{2\pi} E_x^{+(1)}\left(\frac{c}{n_2} k\right) t e^{i(kz - \omega_2(k) \cdot t)}$$

$$k := \frac{n_2 \omega}{c}$$

$$\omega_2 = \frac{c}{n_2} k = v_2 k$$

$$= \int dk \frac{c}{2\pi n_1} E_x^{+(1)}\left(\frac{c}{n_2} k\right) \frac{n_1}{n_2} t e^{i(kz - \omega_2(k) \cdot t)}$$



### 5.3. Wellenausbreitung und Felddiffusion in leitenden Medien

In diesem Kapitel untersuchen wir die Wellenausbreitung in leitenden Medien. Der Einfachheit wegen beginnen wir mit dem Materiemodell eines Ohmschen Leiters:

$$\begin{array}{ll} \operatorname{div} \vec{B} = 0 & \operatorname{rot} \vec{E} + \frac{1}{c} \partial_t \vec{B} = 0 \\ \operatorname{div} \vec{E} = 4\pi \rho & \operatorname{rot} \vec{B} - \frac{1}{c} \partial_t \vec{E} = \frac{4\pi}{c} \vec{j} \\ \vec{j} = \sigma \vec{E} & \text{(Ohm'sches Gesetz)} \end{array}$$

( $\mu = \epsilon = 1$ ) statische magn. und el. Permeabilität

Aus der Kontinuitätsgleichung für Ladungen und dem Ohmschen Gesetz folgert man

$$0 = \partial_t \rho + \vec{\nabla} \cdot \vec{j} = \partial_t \rho + \sigma \vec{\nabla} \cdot \vec{E}$$

oder mit dem Coulombschen Gesetz

$$\partial_t \vec{\nabla} \cdot \vec{E} + 4\pi \sigma \vec{\nabla} \cdot \vec{E} = 0$$

In Frequenzraum gibt dann

$$(-i\omega + 4\pi\sigma) \vec{\nabla} \cdot \vec{E}^\omega = 0$$

oder mit  $\boxed{\epsilon(\omega) := 1 + i \frac{4\pi\sigma}{\omega}}$  als der frequenzabh. DK des Ohmschen Leiters

$$\boxed{\epsilon(\omega) \vec{\nabla} \cdot \vec{E}^\omega = 0.}$$

Eliminiert man nun aus dem Faraday'schen Induktionsgesetz und dem Ampere-Maxwell'schen Durchflutungsgesetz das Magnetfeld  $\vec{B}$ ,

10 ergibt sich die Telegraphengleichung

$$\left( \Delta - \frac{1}{c^2} \partial_t^2 \right) \vec{E} = \frac{4\pi\sigma}{c^2} \partial_t \vec{E}$$

(Die rechte Seite wirkt als Dämpfung).  
Sie lässt sich durch Übergang in den  
Frequenzraum auf die Form einer Helmholtz-  
Gleichung bringen

$$\Delta \vec{E}^\omega + \frac{\omega^2}{c^2} \underbrace{\left( 1 + i \frac{4\pi\sigma}{\omega} \right)}_{\substack{\uparrow = \epsilon(\omega) \\ \uparrow}} \vec{E}^\omega = 0$$

Verschleierungsstrom      Leitungsstrom

$$\Delta \vec{E}^\omega + \frac{\omega^2}{c^2} \epsilon(\omega) \vec{E}^\omega = 0$$

Im Frequenzraum lauten die Faraday  
und Ampere-Maxwell Gleich

$$\begin{aligned} \nabla \times \vec{E}^\omega - \frac{i\omega}{c} \vec{B}^\omega &= 0 \\ \nabla \times \vec{B}^\omega + \frac{i\omega}{c} \epsilon(\omega) \vec{E}^\omega &= 0 \end{aligned}$$

Weiter gibt noch  $\boxed{\operatorname{div} \vec{B}^\omega = 0}$ . Daher  
haben wir für den dünnen Leiter formal  
dieselben Maxwellgleichungen wie für ein  
Dielektrikum mit einer komplexen  
frequenzabhängigen DK.

Damit lautet der komplexe Brechungsindex für einen Omnischer Leiter

$$n = \sqrt{\epsilon} = \sqrt{1 + i \frac{4\pi\sigma}{\omega}}$$

Dies läßt sich auf den Fall eines Drude Modells verallgemeinern:

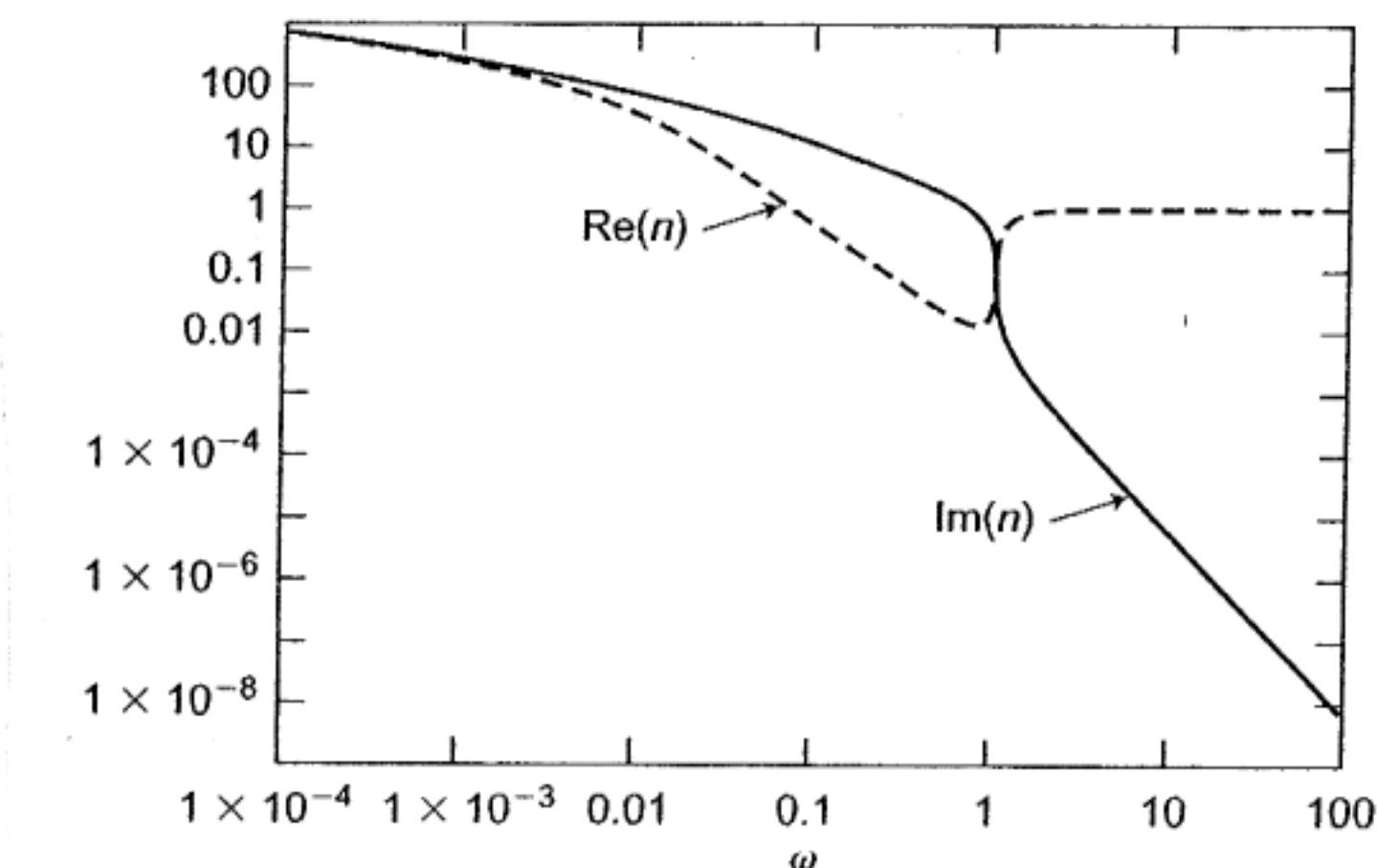
$$n(\omega) = \sqrt{1 - \frac{\omega_p^2}{\omega^2 + i\gamma\omega}}$$

wobei  $\sigma(\omega) = \frac{1}{4\pi} \frac{\omega_p^2}{-\omega + i\gamma}$  die freq. abh. Leitfähigkeit im Drude Modell ist.

Grenzfälle

$$n(\omega) \rightarrow \begin{cases} \omega \rightarrow \infty : & 1 \\ \omega \rightarrow 0 : & \frac{1}{\sqrt{2}} (1+i) \sqrt{\frac{\omega_p^2}{\omega\gamma}} \end{cases}$$

$\omega < \omega_p$       $n(\omega)$  reell, imaginär  
 $\omega > \omega_p$                                      reell



Complex index of refraction.

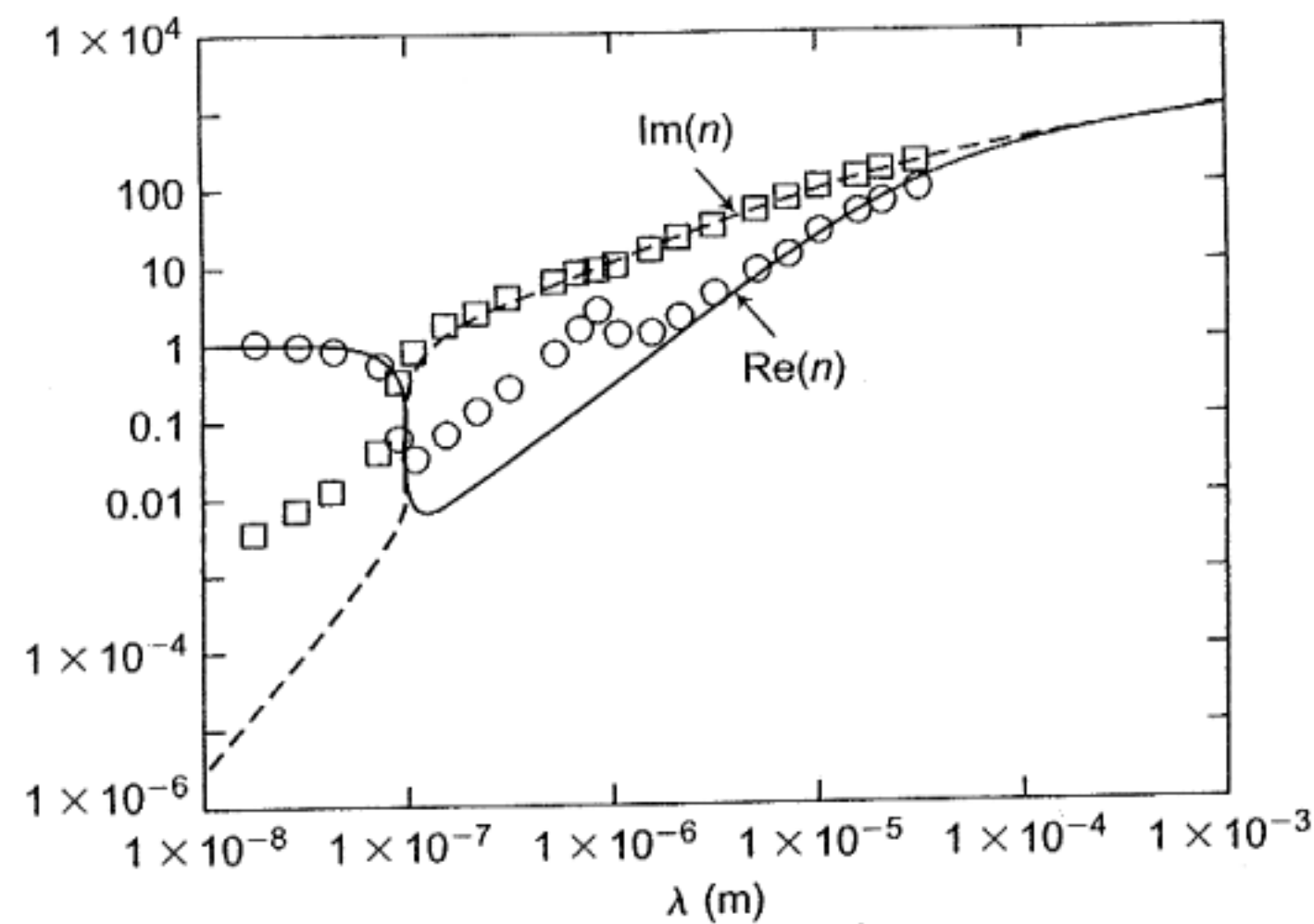


Figure 7.11 Complex index of refraction of aluminum.

The Drude model is plotted versus wavelength and compared with experimental data for aluminum in Figure 7.11. The solid curves correspond to the parameters  $\omega_p = 1.98 \times 10^{16}$  radians/s and  $\gamma = 9.8 \times 10^{13}$ /s. Since aluminum has an electron density  $n_e = 1.8 \times 10^{29}/\text{m}^3$  and a dc conductivity  $\sigma_0 = 3.65 \times 10^7/\Omega\text{-m}$  at room temperature, the straightforward application of (7.163) and (7.180) would predict the parameters  $\omega_p = 2.4 \cdot 10^{16}$  radians/s and  $\gamma = 1.4 \cdot 10^{13}$ /s, which are somewhat at variance with the parameters inferred from optical measurements. With the "best fit" values of  $\omega_p$  and  $\gamma$ , the agreement between the observed and calculated values of the real and imaginary parts of the complex index of refraction is good in the infrared ( $\lambda > 10^{-6}$  m). At shorter wavelengths, the Drude model has the correct qualitative behavior, showing a sharp crossover of the real and imaginary parts at the plasma frequency ( $\lambda \approx 10^{-7}$  m), but there are quantitative discrepancies. The disagreement at wavelengths below about  $1.7 \times 10^{-6}$  m has its origin in the excitation of conduction electrons to higher bands and, at still shorter wavelengths, to the excitation of inner-shell electrons.

Ans C. A. Brau,  
 "Modern Problems in Classical  
 Electrodynamics",  
 Oxford



Für eine ebene Welle ergibt sich dann die Dispersionsrelation

$$\begin{aligned}
 k^2 &= \frac{\omega^2}{c^2} n^2(\omega) = \frac{\omega^2}{c^2} \left( 1 - \frac{\omega_p^2}{\omega^2 + i\gamma\omega} \right) \\
 &= \frac{\omega^2}{c^2} \left( 1 + \frac{i \frac{\omega_p^2}{\omega\gamma}}{1 - \frac{i\omega}{\gamma}} \right) \\
 &= \frac{\omega^2}{c^2} \left( 1 + \frac{i \frac{4\pi\sigma}{\omega}}{1 - \frac{i\omega}{\gamma}} \right)
 \end{aligned}$$

Im Niederfrequenzbereich

$\frac{\omega}{\sigma} \ll 1$  ,  $\frac{\omega}{\gamma} \ll 1$   
 (guter Leiter) (Niederfrequenz)  
 gilt dann für die Dispersionsrelation

$$k^2 = i \frac{4\pi\sigma\omega}{c^2}$$

$$k = \sqrt{\frac{2\pi\sigma\omega}{c^2}} (1+i)$$

Man liest daraus ab, daß

$$\delta = \sqrt{\frac{c^2}{2\pi\sigma\omega}}$$

die Längenskala ist, auf der die Amplitude der ebenen Welle zerfällt (in dem Leiter eindringt). Diese Länge heißt Skin depth

Zahlenbeispiele: Cu

60 Hz	$\delta \approx 1 \text{ cm}$	(Wechselstrom)
2.45 GHz	$\delta \approx 1 \mu\text{m}$	(Mikrowelle)



Fall  $\frac{\omega}{\gamma} \ll 1$  (Niederfreq.) aber  $\frac{\omega}{\sigma} \gg 1$   
dann

$$k^2 = \frac{\omega^2}{c^2} \left( 1 + i 4\pi \frac{\sigma}{\omega} \right)$$

$$k \approx \frac{\omega}{c} \left( 1 + i 2\pi \frac{\sigma}{\omega} \right)$$

und die Eindringtiefe wird zu

$$\delta = \frac{c}{2\pi\sigma} \quad (\text{Elektrolyte, Halbleiter})$$

also unabhängig von der Frequenz,

In diesem Fall gibt für den Reflexionskoeff.

$$r(\omega) = \frac{1 - n(\omega)}{1 + n(\omega)} \approx \frac{1 - \left( 1 + i \frac{2\pi\sigma}{\omega} \right)}{1 + \left( 1 + i \frac{2\pi\sigma}{\omega} \right)} \approx \frac{1}{i} \frac{\pi\sigma}{\omega} + o\left(\frac{1}{\omega^2}\right)$$

$$\text{i.e. } |r(\omega)| \ll 1$$

Vgl. hierzu den Fall eines guten Leiters

$$|r(\omega)| = \left| \frac{1 - \sqrt{i} \sqrt{\frac{4\pi\sigma}{\omega}}}{1 + \sqrt{i} \sqrt{\frac{4\pi\sigma}{\omega}}} \right| \approx 1 - o\left(\sqrt{\frac{\omega}{\sigma}}\right)$$

nahezu perfekte Reflexion.